

帮学课堂配套讲义

《西医综合 • 病理学》

——强化课程

课程配套讲义是学习的必备资源，帮帮为大家精心整理了高质量的配套讲义，确保同学们学习的方便与高效。该讲义是帮帮结合大纲考点及考研辅导名师多年辅导经验的基础上科学整理的。内容涵盖考研的核心考点、复习重点、难点。结构明了、脉络清晰，并针对不同考点、重点、难点做了不同颜色及字体的标注，以便同学们复习时可以快速投入、高效提升。

除课程配套讲义外，帮帮还从学习最贴切的需求出发，为大家提供以下服务，打造最科学、最高效、最自由的学习平台：

服务项目	服务内容
名师高清视频课	零距离跟名师学习，精讲考点，突出重点，拿下难点，掌握方法
习题+月考+模考	精选配套习题，灵活自测，查缺补漏，时时提升
真题视频解析	精选整理了近十几年的真题+答案，视频详解近五年真题
复习规划指导	名师零距离直播/录播指导全程考研复习规划
24小时内答疑	24小时内详尽解答您复习中的疑点难点，确保学习无阻碍

把青春托付给值得信任的平台！

祝：复习愉快，天天高效，考研成功！

PS:讲义中的不足之处，欢迎各位研研批评指正，我们将竭尽所能追求更好！

目录

第一部分：细胞和组织的适应与损伤

第一章 适应的概念及分类	1
第二章 变性	1
第三章 细胞死亡	4

第二部分：损伤的修复

第一章 再生	6
第二章 纤维性修复	7
第三章 伤口愈合	7

第三部分：局部血液循环障碍

第一章 血栓形成	9
第二章 栓塞	10
第三章 梗死	11

第四部分：炎症

第一章 炎症的概述	11
第二章 慢性炎症	13

第五部分：肿瘤

第一章 肿瘤生长形态及转移	14
第二章 肿瘤命名与分类	15
第三章 肿瘤分级与分期	16
第四章 常见肿瘤与癌前病变	16
第五章 肿瘤发生的分子机制与遗传	17

第六部分：心血管系统疾病

第一章 心血管系统疾病	19
第二章 高血压病	20
第三章 风湿病	21
第四章 心肌病	22
第七部分：呼吸系统疾病	
第一章 肺炎	23
第二章 肺气肿	23
第三章 肺硅沉着病	24
第四章 慢性肺源性心脏病	25
第五章 肺间质性疾病	25
第六章 呼吸系统常见肿瘤	25
第八部分：消化系统疾病	
第一章 慢性胃炎	26
第二章 消化性溃疡病	26
第三章 病毒性肝炎	27
第四章 肝硬化	27
第五章 消化系统常见肿瘤	28
第九部分：造血系统疾病	
第一章 恶性淋巴瘤	30
第十部分：免疫性疾病	
第一章 系统性红斑狼疮	32
第二章 类风湿性关节炎	34
第三章 移植排斥反应	34

第十一部分：泌尿系统疾病

第一章 肾小球肾炎	35
第二章 肾病综合征	35
第三章 IgA 肾病和肾小球肾炎	36

第十二部分：生殖系统疾病

第一章 子宫体疾病	36
第二章 卵巢肿瘤	36
第三章 乳腺疾病	37

第十三部分：内分泌系统疾病

第一章 甲状腺疾病	38
-----------	----

第十四部分：传染病

第一章 结核病	39
第二章 伤寒	41
第三章 梅毒	41

第十五部分：寄生虫病

第一章 阿米巴病	42
第二章 血吸虫病	42

第一章 胞和组织的适应与损伤

第一节 适应的概念及分类

【2014-42】下列选项中，不属于化生的是

- A. 胃黏膜内出现肠上皮
- B. 舌根部出现甲状腺组织
- C. 气管内出现鳞状上皮
- D. 子宫内膜中出现鳞状上皮

【2013-44】在下列叙述中，不会发生的化生是

- A. 胃腺上皮化生为肠腺上皮
- B. 柱状上皮化生为鳞状上皮
- C. 纤维组织化生为软骨组织
- D. 鳞状上皮化生为纤维组织

类 型	种 类	
①皮组织化生	I 鳞状上皮化生（最为常见）	腺上皮→鳞状上皮
		移行上皮→鳞状上皮
	II 腺上皮→腺上皮	肠上皮化生（肠化）
		（假）幽门腺化生
III 鳞状上皮→腺上皮	胃型或肠型上皮化生	
		其他
②间叶组织化生	骨或软骨化生 幼稚的成纤维细胞→成骨细胞/成软骨细胞 骨化性肌炎/骨化生、结缔组织损伤	

【2012-41】在下列病变中脂褐素主要出现在

- A. 萎缩
- B. 脂肪变性
- C. 坏死
- D. 凋亡

第二节 变性

【2013-41】在下列病变中，含铁血黄素主要出现在

- A. 肺褐色硬化
- B. 小叶性肺炎
- C. 急性呼吸窘迫综合征
- D. 间质性肺炎

重要器官的瘀血

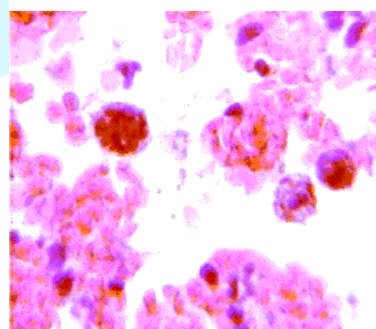
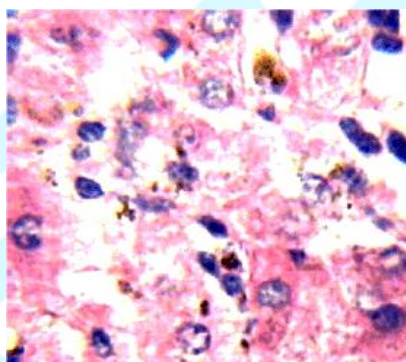
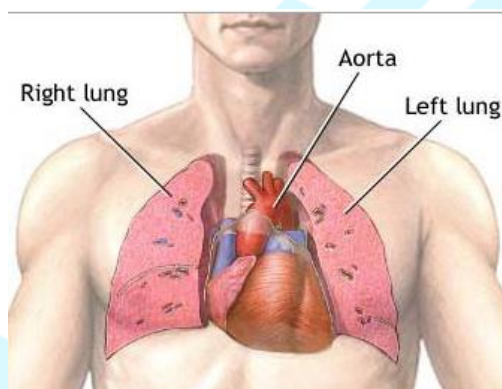
1. 肺瘀血 由左心衰竭引起。慢性肺瘀血，肺泡腔除有水肿液及出血外，还

可见大量含有含铁血黄素颗粒的巨噬细胞。称为心衰细胞。肺质地变硬，肉眼呈棕褐色，称为肺褐色硬化。

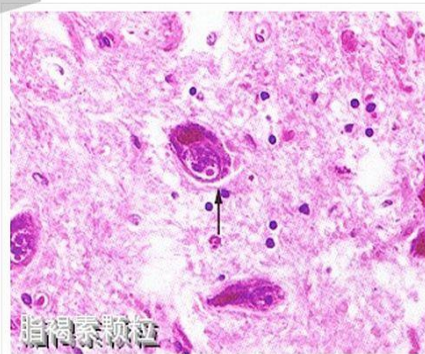
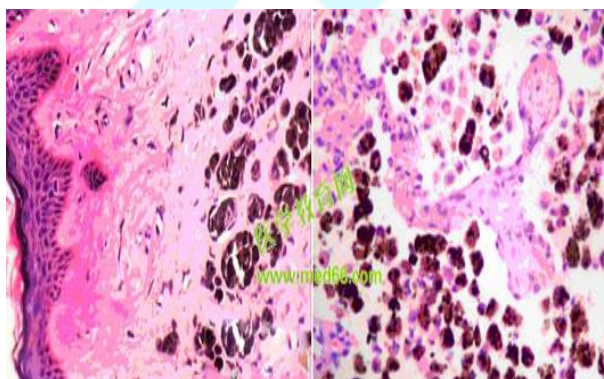
2. 肝瘀血 常由右心衰竭引起。在慢性肝瘀血时，致使在肝的切面上出现红（瘀血区）黄（肝脂肪变区）相间的状似槟榔切面的条纹，称为槟榔肝。严重的长期的肝瘀血，小叶中央肝细胞萎缩消失，网状纤维塌陷后胶原化，肝窦旁的贮脂细胞增生，合成胶原纤维增多，加上汇管区纤维结缔组织的增生，致使整个肝脏的间质纤维组织增多，形成瘀血性肝硬化。

(1) 含铁血黄素是巨噬细胞吞噬、降解红细胞血红蛋白所产生的铁蛋白微粒聚集体，巨噬细胞破裂后，此色素亦可见于细胞外。病理情况下，如陈旧性出血和溶血性疾病时，细胞组织中含铁血黄素蓄积。

(2) 脂褐素 正常时，附睾管上皮细胞、睾丸间质细胞和神经节细胞胞质内可含有少量脂褐素。



萎缩的心肌细胞和肝细胞等萎缩细胞胞质内可出现脂褐素颗粒。脂褐素是细胞内未被彻底消化的富含磷脂的膜包被细胞器残体。



【2013-43】酒精中毒时，肝细胞内出现马洛里小体（Mallory body），其病变性质是

- A. 水样变性
- B. 脂肪变性
- C. 玻璃样变性
- D. 纤维素样变性

玻璃样变

细胞内或间质中出现半透明状蛋白质蓄积，称为玻璃样变。

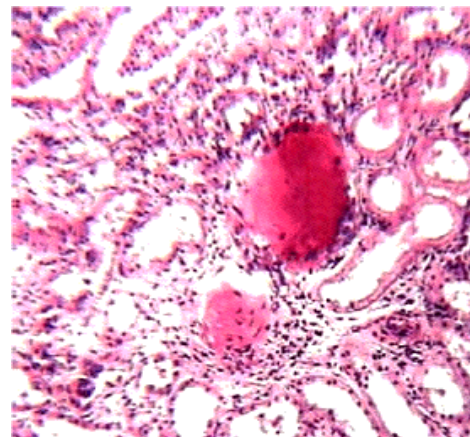
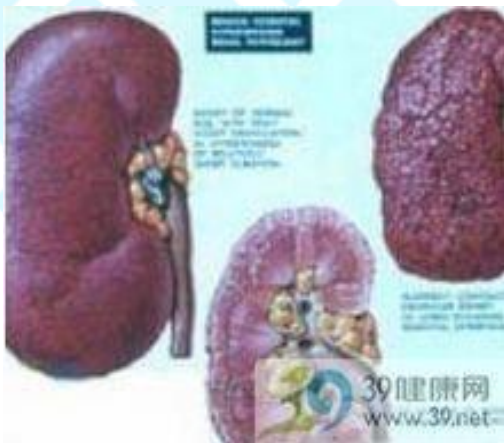
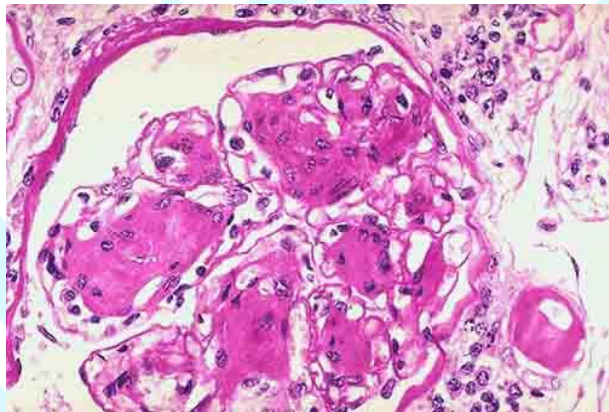
（1）细胞内玻璃样变通常位于细胞质内。

1. 近曲肾小管上皮细胞重吸收原尿中的蛋白质，与溶酶体融合，形成玻璃样小滴；

2. 浆细胞胞质粗面内质网中免疫球蛋白蓄积，形成 Rusell 小体；

3. 酒精性肝病时，肝细胞胞质中细胞中间丝前角蛋白变性，形成 Mallory 小体。

（2）细动脉壁玻璃样变 又称细动脉硬化，常见于缓进型高血压和糖尿病的肾、脑、脾等脏器的细动脉壁。



【2012-42】虎斑心的组织学改变是

- A. 心肌纤维间大量淋巴细胞浸润
- B. 心肌纤维间出现脂肪沉积
- C. 心肌细胞中出现脂肪沉积

D. 心肌细胞中出现透明小体

脂肪变

(细胞内)中性脂肪特别是甘油三酯蓄积于非脂肪细胞的细胞质中,称为脂肪变,多发生于肝细胞。

肝细胞是脂肪代谢的重要场所,最常发生脂肪变。显著弥漫性肝脂肪变称为脂肪肝。慢性酒精中毒或缺氧可引起心肌脂肪变,常累及左心室内膜下和乳头肌部位。脂肪变心肌细胞呈黄色,与正常心肌细胞的暗红色相间形成黄红色斑纹,称为虎斑心。

近曲小管上皮细胞脂肪变



【2012-163】在微小病变型肾小球肾炎中,肾小管容易形成的变性有

- A. 水样变性
- B. 脂肪变性
- C. 玻璃样变性
- D. 纤维素样变性

微小病变型肾小球肾炎又称脂性肾病

1、由于大量的蛋白尿而造成蛋白质在肾小管上皮中分解成脂类物质导致肾小管脂肪变性。

2、在肾炎出现蛋白尿时,血浆蛋白经肾小球滤出,又被小管上皮细胞吞饮并在胞浆内融合成玻璃样小滴。

【2011-42】下列选项中属于转移性钙化的是

- A. 结核病灶钙化
- B. 肺间质钙化
- C. 淋巴瘤钙化
- D. 血栓钙化

病理性钙化:骨和牙齿之外的组织中固态钙盐沉积称为病理性钙化。

营养不良性钙化:最常见;见于变性坏死组织,如坏死的虫卵结核病干酪样坏死灶、血栓、动脉粥样硬化斑块及瘢痕组织等,可能与局部碱性磷酸酶增多有关。

转移性钙化常发生在肾小管、肺和胃的间质。

第三节 细胞死亡

【2015-44】下列可以发生坏疽的病变是

- A. 肝大片状坏死
- B. 脾梗死
- C. 脑梗死
- D. 肠套叠

【2014-44】下列肝细胞坏死中，属于凋亡的是

- A. 嗜酸性坏死
- B. 点状坏死
- C. 碎片状坏死
- D. 桥接坏死

凋亡的概念

凋亡是活体内个别细胞程序性细胞死亡的表现形式，是由体内外因素触发细胞内预存的死亡程序而导致的细胞主动性死亡方式，在形态和生化特征上都有别于坏死

	生理性	病理性
坏死		主要见于病理性死亡
凋亡	主要见于生理性死亡	肝细胞嗜酸性坏死

八版教材新增——凋亡的特例

★病毒性肝炎时，肝细胞的嗜酸性坏死

★单个肝细胞的病理性死亡

★属细胞凋亡

★嗜酸性小体=Councilman 小体

注：嗜酸性小体表现为单个肝细胞内深红色、细胞核消失的圆形小体

★固缩性坏死

【2013-42】镜下坏死组织结构的轮廓消失，呈现一片嗜酸性颗粒状物，其坏死类型是

- A. 凝固性坏死
- B. 液化性坏死
- C. 干酪样坏死
- D. 脂肪坏死

(1) 蛋白质变性

原因/机制	蛋白质变性凝固且溶酶体酶水解作用较弱；
多见于	心、肝、肾、脾等实质脏器
肉眼	坏死区呈灰黄、干燥、质实状态，坏死与健康组织间界限多较明显；
镜下	细胞微细结构消失，组织轮廓保存

特殊类型	干酪样坏死	彻底的凝固性坏死	见于肉眼镜下	结核病（特征性病变）； 多由结核（分枝）杆菌引起； 坏死区呈黄色，状似干酪（因病灶中含脂质较多） 无结构颗粒状红染物； <u>不见坏死部位原有组织结构的残影</u> ，甚至不见核碎屑；
------	-------	----------	--------	---

（2）液化性坏死

原因/机制	坏死组织中可凝固的蛋白质少；或坏死细胞自身及浸润的中性粒细胞等释放大量水解酶，或组织富含水分或磷脂
多见于	①脑软化/脑液化性坏死（脑梗死：缺血缺氧） ②脊髓液化性坏死 ③细胞水肿→溶解性坏死（如病毒性肝炎）
病理变化	细胞组织发生溶解液化
特殊类型	脂肪坏死： 急性（坏死性）胰腺炎→细胞释放胰酶→分解脂肪酸； 肉眼：灰白色钙灶（脂肪坏死后，释放的脂肪酸和 Ca^{2+} 结合）

【2012-43】在下列坏死中有特征性钙灶形成的是

- A.凝固性坏死
- B.液化性坏死
- C.干酪性坏死
- D.脂肪坏死

【2011-44】下列选项中，属于凋亡特征的是

- A.死亡细胞质膜破裂
- B.活体内单个细胞死亡
- C.死亡细胞自溶
- D.伴有急性炎症反应

第二章 损伤的修复

第一节 再生

【2015-41】男性，25岁。患急性糜烂性胃炎，经治疗痊愈后，原胃体黏膜糜烂处表现为

- A. 正常胃黏膜
- B. 幽门腺化生
- C. 肠上皮化生
- D. 表面腺体增厚

【2014-41】男性，16岁。左手烫伤，红肿，少数水泡，无感染。经治疗痊愈，局部皮肤组织的病理变化表现为

- A. 纤维瘢痕形成
- B. 皮肤附属器破坏
- C. 毛细血管增生
- D. 正常皮肤

分类	概念		修复类型	重要考点
i 再生	由损伤周围的同种细胞来修复（实质）	①完全再生 （完全恢复了原组织的结构与功能）	生理性修复	骨组织再生能力强，骨折后可完全修复 病毒性肝炎：点状坏死、灶状坏死
		②不完全再生	病理性修复	
ii 纤维性修复（瘢痕修复）	由肉芽组织来修复（三多一少）；以后纤维结缔组织形成瘢痕（；三少一多）	肉芽组织：（成纤维细胞，新生毛细血管，炎细胞多，纤维结缔组织少）	病理性修复	肉芽组织和肉芽肿性炎（炎细胞包括：巨噬细胞；不包括：巨噬细胞的衍生细胞）的区别

【2011-41】患者，20岁，骨折愈合良好，5年后骨折处骨组织病理变化表现为

- A. 大量成纤维细胞
- B. 大量新生毛细血管
- C. 正常骨组织
- D. 大量多核巨细胞

第二节 纤维性修复

【2012-164】下列选项中符合肉芽组织特征的有

- A. 较多的多核巨细胞
- B. 较多的内皮细胞
- C. 较多的成纤维细胞
- D. 较多的类上皮细胞

肉芽组织组成：成纤维细胞
 新生毛细血管
 炎细胞多
 纤维结缔组织少

第三节 伤口愈合

【2013-45】在伤口愈合时，对增加伤口愈合强度起主要作用的因素是

- A. 成纤维细胞
- B. 毛细血管
- C. 细胞外基质

D. 良好的血供

【2012-44】下列骨折描述中，骨折处表现为肉芽组织和排列紊乱的骨小梁是

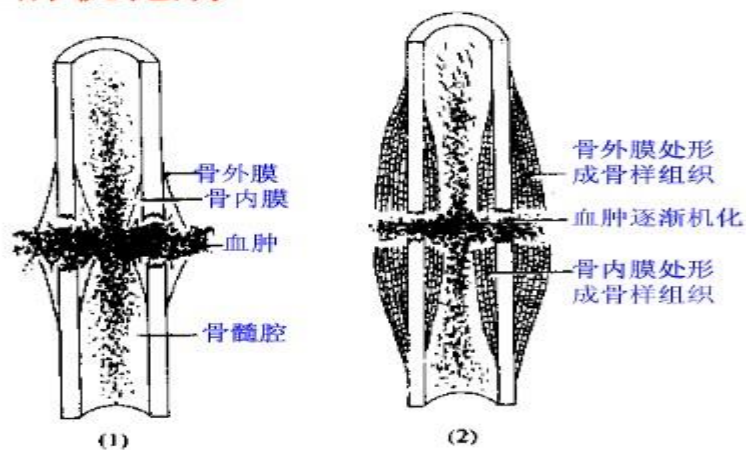
- A. 纤维性骨痂形成
- B. 骨性骨痂形成
- C. 骨不愈合
- D. 骨痂重塑完成

骨折的修复

一、骨折的愈合过程

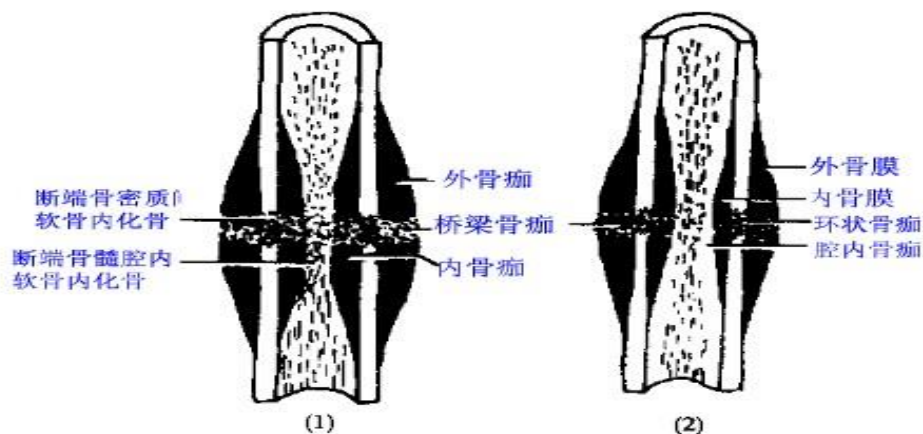
- ◆ 血肿机化期
- ◆ 原始骨痂期
- ◆ 骨痂改造期

(1)、血肿机化期:



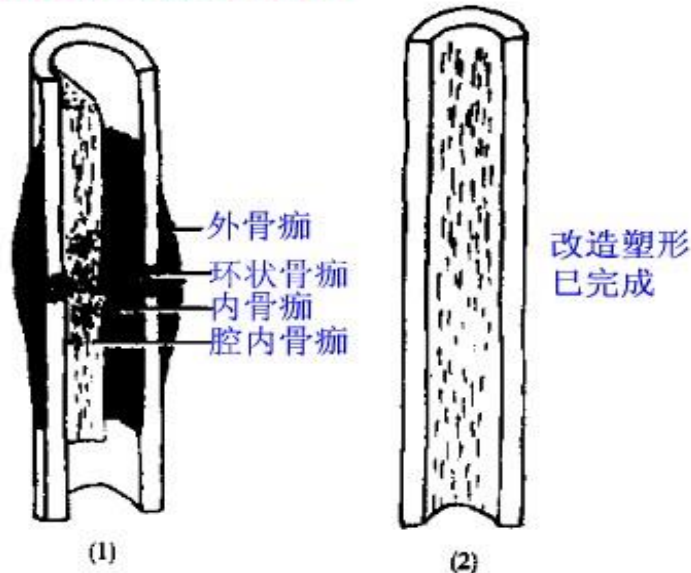
- 1. 骨折后血肿机化
- 2. 血肿逐渐机化，骨内外膜处开始形成骨样组织

2、原始骨痂形成期:



1. 膜内化骨及软骨化骨过程逐渐完成
2. 膜内化骨及软骨化骨过程基本完成

3、骨痂改造塑型期：



1. 外骨痂内骨痂，环状骨痂及腔内骨痂形成后的立体解剖
2. 骨痂塑形基本完成

第三章 局部血液循环障碍

第一节 血栓形成

【2012-45】肉眼所见的混合血栓中灰白色条纹在镜下所见的是：

- A. 血小板小梁
- B. 纤维蛋白网络
- C. 淋巴细胞浸润
- D. 血栓机化时的肉芽组织

血栓类型和形态

1. 白色血栓 白色血栓在急性风湿性心内膜炎时在二尖瓣闭锁缘上形成疣状血栓为白色血栓。镜下主要由血小板构成。

2. 混合血栓 在肉眼观察时呈灰白色（血小板小梁）和红褐色（红细胞）层状交替结构。称为层状血栓，即混合血栓。静脉内的延续性血栓的体部为混合血栓。发生于心腔内的混合血栓，可称为附壁血栓。发生于左心房内的血栓，混合血栓呈球状。镜下混合血栓主要血小板和红细胞。

3. 红色血栓 红色血栓主要见于静脉内，成为延续性血栓的尾部。镜下血细胞。

4. 透明血栓 透明血栓发生于微循环的血管内，主要在毛细血管，只能在显微镜下观察到，又称为微血栓。透明血栓主要纤维蛋白构成，最常见于弥散性血

管内凝血（DIC）。

【2012-46】透明血栓主要发生的组织部位是

- A. 毛细血管
- B. 静脉瓣膜
- C. 动脉管壁
- D. 心房内膜

第二节 栓塞

【2015-45】使用正压静脉输液时，可能发生的栓塞是

- A. 血栓栓塞
- B. 空气栓塞
- C. 肿瘤栓塞
- D. 脂肪栓塞

【2014-45】女性，73岁。下楼梯时，不慎摔倒，股骨骨折。行手术内固定术时，突然呼吸困难，紫绀，血压下降，全身抽搐，昏迷，抢救无效死亡。尸体解剖，肺血管内最可能的发现是

- A. 角化上皮
- B. 脂滴
- C. 空气
- D. 血栓

栓塞的类型和对机体的影响

（一）血栓栓塞

血栓栓塞是栓塞最常见的原因。

1. 肺动脉栓塞 造成肺动脉栓塞的栓子95%以上来自下肢膝以上的深部静脉。
2. 体循环动脉栓塞栓子80%来自左心。

（二）脂肪栓塞:股骨干骨折

（三）气体栓塞

减压病 又称沉箱病，是气体栓塞的一种。氮气在体液内溶解迟缓，致在血液和组织内形成很多微气泡或融合成大气泡，引起气体栓塞，又称为氮气栓塞。

（四）羊水栓塞（母体*）

羊水栓塞的证据是在显微镜下观察到肺小动脉和毛细血管内有羊水的成分，包括角化鳞状上皮、胎毛、胎脂、胎粪和黏液。亦可在母体血液涂片中找到羊水的成分。

【2013-137、138】

- A. 肺动脉血栓栓塞
- B. 肺动脉脂肪栓塞
- C. 肺动脉血栓形成
- D. 肺毛细血管血栓形成

【2013-137】下肢骨折后7天，起床时突然死亡，尸体解剖时最可能的发现是

【2013-138】中毒性休克病人死亡，尸体解剖时最可能的发现是

【2011-45】女，23岁，足月初产，无妊娠并发症。在阴道分娩过程中，突然呼吸困难，紫绀，血压下降，全身抽搐，昏迷，抢救无效死亡。尸体解剖，肺小动脉和毛细血管内最可能的发现是

- A. 角化上皮
- B. 脂滴
- C. 气泡
- D. 血栓

第三节 梗死

【2012-165】除了贫血性梗死形成所需条件外，出血性梗死的形成还需要的条件是

- A. 组织蛋白含量高
- B. 组织有严重的瘀血
- C. 组织有双重血供
- D. 组织疏松

梗死类型

根据梗死灶内含血量的多少和有无合并细菌感染，将梗死分为以下三种类型。

1. 贫血性梗死 发生于组织结构较致密侧支循环不充分的实质器官，如脾、肾、心和脑组织。
2. 出血性梗死
 - 1) 卵巢囊肿或肿瘤时卵巢蒂部扭转，形成出血性梗死。
 - 2) 组织疏松肠和肺的组织较疏松，所发生的肺梗死一般为贫血性梗死。
 - 3) 肺出血性梗死：常位于肺下叶
 - 4) 肝脏

梗死的条件

- 1) 贫血性梗死：
 - ①组织结构比较致密
 - ②侧支循环不充分
 - ③动脉分支阻塞
- 2) 出血性梗死：
 - ①组织疏松
 - ②双重血液供给或血管吻合支丰富
 - ③组织有淤血严重
 - ④动脉分支阻塞
 - ⑤侧支循环不能代偿等

第四章 炎症

第一节 炎症的概述

【2015-43】严重烧伤时，导致血管通透性增加的主要机制是

- A. 内皮细胞穿胞作用增加
- B. 内皮细胞直接损伤
- C. 白细胞介导的内皮细胞损伤
- D. 新生毛细血管的高通透性

【2014-43】下列炎性介质中，引起发热的是

- A. 缓激肽
- B. 前列腺素
- C. NO
- D. IL-8

主要炎症介质的作用

功能	炎性介质种类
1. 血管扩张	组胺、5-HT、缓激肽、PGE ₂ 、PGE ₁ 、PGD ₂ 、PGI ₂ 、NO
2. 血管通透性升高	组胺、5-HT、缓激肽、C3a、C5a、LTC ₄ 、LTD ₄ 、LTE ₄ 、PAF（血小板激活因子）、活性氧代谢产物、P物质
3. 趋化作用	C5a、LTB ₄ 、细菌产物、中性粒细胞阳离子蛋白、细胞因子（IL-8、TNF）
4. 发热	细胞因子（IL-1、IL-6和TNF等）、PG
5. 疼痛	PGE ₂ 、缓激肽
6. 组织损伤	氧自由基、溶酶体酶、NO

（注：PG 前列腺素、LT 白细胞三烯；IL 细胞因子；TNF 肿瘤坏死因子）

【2014-163】炎性介质的作用包括

- A. 血管通透性降低
- B. 发热
- C. 疼痛
- D. 趋化作用

【2014-135、136】

- A. 白喉
- B. 淋巴结结核
- C. 急性蜂窝织性阑尾炎
- D. 乙型肝炎

【2014-135】属于变质性炎的是

【2014-136】属于假膜性炎的是

（1）变质性炎是以局部组织发生变性和坏死为主的炎症，渗出和增生改变较轻微，多见于急性炎症，如乙肝、乙脑、阿米巴。

（2）纤维素性炎以纤维蛋白原渗出为主，继而形成纤维蛋白。多发于黏膜、浆膜和肺组织。黏膜发生的纤维素性炎，渗出的纤维蛋白、中性粒细胞和黏膜坏死组织共同形成灰白色膜状物覆盖在黏膜表面，称假膜性炎，其最主要成分是纤维蛋白，常见于白喉、细菌性痢疾。

【2013-46】发生在下列不同部位的纤维蛋白性炎症中，属于假膜性炎症的是

- A. 心包膜
- B. 胸膜
- C. 关节滑膜
- D. 肠黏膜

【2012-47】在假膜性炎症中最具有特征性的渗出物是

- A. 血红蛋白
- B. 纤维蛋白
- C. 淋巴细胞
- D. 中性粒细胞

【2011-43】下列炎症介质中，具有趋化作用的是

- A. 缓激肽
- B. 前列腺素
- C. NO
- D. IL-8

【2011-137、138】

- A. 空洞性肺结核
- B. 细菌性痢疾
- C. 小叶性肺炎
- D. 钩端螺旋体病

【2011-137】属于出血性炎的是

【2011-138】属于纤维素性炎的是

第二节 慢性炎症

【2015-137、138】

- A. 鼠疫
- B. 梅毒
- C. 白喉
- D. 艾滋病

【2015-137】属于肉芽肿性炎的是

【2015-138】属于出血性炎的是

【2013-163】下列形态改变中，属于炎症的主要病理变化有

- A. 血管反应
- B. 肉芽组织形成
- C. 炎细胞浸润
- D. 上皮细胞增生

炎症的基本病理变化

炎症的基本病理变化包括变质、渗出和增生。

1. 变质
2. 渗出是炎症最具特征性的变化。
3. 增生

【2012-135、136】

- A. 淋巴细胞
- B. 中性粒细胞
- C. 浆细胞
- D. 巨噬细胞

【2012-135】急性炎症晚期开始出现的细胞是

【2012-136】出现在肉芽肿性炎症的主要细胞是

炎症细胞的种类和主要功能（重要）

- 中性粒细胞：常见于急性炎症早期和化脓性炎症；
- 巨噬细胞：常见于急性炎症后期、肉芽肿性炎（注：万能选择项）；
- 淋巴细胞和浆细胞：常见于慢性炎症及病毒感染；
- 嗜酸性粒细胞：主要见于寄生虫感染和过敏性炎；

【2011-135、136】

- A. 急性细菌性痢疾
- B. 肠伤寒
- C. 急性蜂窝织炎
- D. 急性重症肝炎

【2011-135】属于化脓性炎的是：

【2011-136】属于肉芽肿性炎的是：

第五章 肿瘤

第一节 肿瘤形态生长及转移

【2013-47】下列选项中，符合肿瘤间变概念的是

- A. 良恶性肿瘤之间的形态改变
- B. 肿瘤细胞的去分化
- C. 肿瘤发生过程中的一种癌前病变
- D. 肿瘤亲子代之间的遗传特性继承

肿瘤的分类

肿瘤	良性肿瘤		
	恶性肿瘤	癌	间变性肿瘤 (恶性肿瘤细胞分化很差, 异型性显著)
		肉瘤	
		癌肉瘤	
交界性肿瘤	(介于良性与恶性之间的肿瘤) (低度恶性的肿瘤: 可以转移)		

【2012-48】肿瘤的异质性是指

- A. 肿瘤细胞的大小
- B. 肿瘤起源于不同的细胞亚群
- C. 肿瘤细胞形成具有不同的生长侵袭特性的亚群
- D. 肿瘤细胞核染色体深浅不一

肿瘤的演进与异质性

肿瘤的演进 (progression): 恶性肿瘤在生长过程中变得越来越富有侵袭性的现象, 包括生长加快、浸润周围组织、远处转移等。

肿瘤的异质性 (heterogeneity): 指由一个克隆来源的肿瘤细胞在生长过程中形成在侵袭能力、生长速度、对激素的反应、对抗癌药的敏感性等方面有所不同的亚克隆的过程。

【2011-47】患者, 女, 58 岁。因左乳腺外上象限肿物伴腋窝淋巴结肿大住院, 手术标本病理诊断为左乳腺浸润性导管癌伴淋巴结转移。下列病理变化中, 与患者肿瘤转移关系最密切的是

- A. 角蛋白的表达增高
- B. 凋亡增多
- C. 层粘连蛋白受体减少
- D. 出现坏死灶

第二节 肿瘤的命名与分类

【2013-49】在恶性肿瘤的鉴别诊断中, 免疫组织化学染色角蛋白阳性, 波形蛋白阴性, 该肿瘤最可能的诊断是

- A. 癌
- B. 肉瘤
- C. 黑色素瘤
- D. 神经内分泌肿瘤

解析: 在恶性肿瘤的鉴别诊断中, 免疫组织化学染色角蛋白阳性见于癌或间皮瘤, 波形蛋白阳性见于间叶组织肿瘤。本题角蛋白阳性、波形蛋白阴性, 因此最可能的诊断是癌。

【2011-46】下列选项中属于良性肿瘤的是

- A. 视网膜母细胞瘤
- B. 软骨母细胞瘤
- C. 肾母细胞瘤
- D. 神经母细胞瘤

肿瘤命名的特殊原则

特殊原则	恶性肿瘤	良性肿瘤
+ “母细胞瘤”	神经母细胞瘤、髓母细胞瘤、肾母细胞瘤、视网膜母细胞瘤、肝母细胞瘤	骨母细胞瘤、软骨母细胞瘤、

		肌母细胞瘤
+ “瘤”	精原细胞瘤、淋巴瘤（霍奇金淋巴瘤+非霍奇金淋巴瘤）、骨髓瘤、黑色素瘤、无性细胞瘤、尤文氏（肉）瘤	——
+ “病”	白血病、霍奇金病、Bowen 病、蕈样霉菌病	——
“恶性…瘤”	恶性神经鞘瘤、恶性间皮瘤、恶性畸胎瘤、恶性胶质瘤、恶性脑膜瘤、恶性黑色素瘤	神经鞘瘤、皮肤带状瘤、间皮瘤、畸胎瘤、血管瘤、脑膜瘤、节细胞神经瘤
其他	恶性葡萄胎、绒毛膜上皮癌、胚胎性癌	葡萄胎

第三节 肿瘤分级和分期

【2015-46】下列属于原位癌的病是

- A. 大肠黏膜下癌
- B. 食管黏膜下癌
- C. 乳腺导管内癌
- D. 胃黏膜内癌

第四节 常见肿瘤与癌前病变

【2014-167】胃黏膜病变中，属于癌前病变的有

- A. 幼年性息肉
- B. 腺瘤性息肉
- C. 炎症性息肉
- D. 非典型增生

癌前病变

癌前病变：某些疾病（或病变）虽然本身不是恶性肿瘤，但具有发展为恶性肿瘤的潜能，患者发生相应恶性肿瘤的风险增加。这些疾病或病变称为癌前病变。

1. 大肠腺瘤，息肉病发生癌变。
2. 慢性溃疡性结肠炎
3. 慢性胃炎与肠上皮化生
4. 乳腺纤维囊性病
5. 皮肤慢性溃疡
6. 黏膜白斑

【2013-50】在下列癌前病变中，癌变几率最高的是

- A. 结节性肝硬化
- B. 黏膜白斑
- C. 结肠腺瘤性息肉病
- D. 未降睾丸

【2011-167】下列大肠息肉病变中，属于癌前病变的有

- A. 幼年性息肉
- B. 家族性腺瘤性息肉病
- C. 炎症性息肉
- D. 腺瘤性息肉

第五节 肿瘤发生的分子机制和与遗传

【2014-46】下列选项中，不属于遗传性肿瘤的是

- A. Li-Fraumeni 综合征
- B. 纤维瘤病
- C. 结肠腺瘤性息肉病
- D. 神经纤维瘤病

遗传性肿瘤综合征包括：
 神经纤维瘤病
 毛细血管扩张共济失调症
 家族性视网膜母细胞瘤
 家族性腺瘤性息肉病
 Li-Fraumeni 综合征
 着色性干皮病
 Bloom 综合征
 Fanconi 贫血
 Wilms 瘤
 von Hippel-Lindau 综合征
 遗传性非息肉病性结直肠癌
 家族性乳腺癌

抑癌基因突变与肿瘤

综合征	受累基因	相关肿瘤	遗传类型
家族性视网膜母细胞瘤	Rb	视网膜母细胞瘤、骨肉瘤	常染色体显性遗传
家族性腺瘤性息肉病	APC	结直肠癌	常染色体显性遗传
神经纤维瘤病 I 型	NF-1	神经纤维瘤，恶性神经鞘瘤	常染色体显性遗传
肾母细胞瘤（Wilms 瘤）	WT-1	Wilms 瘤	常染色体显性遗传
Li-Fraumeni 综合征	P53	肉瘤，乳腺癌，脑肿瘤，白血病	

（抑癌基因）
肿瘤抑制基因

【2013-48】下列原癌基因中，以点突变为主要激活方式成为癌基因的是

- A. ras
- B. PDGF
- C. cyclin D1

D. myc

癌基因和抑癌基因的概念

1. 癌基因的概念

细胞癌基因或原癌基因，如 K-ras（点突变为主要激活方式）和 EGFR（生长因子受体家族 EGFR/c-erbB-1, c-erbB-2 (Her-2/neu), c-erbB-3, c-erbB-4) 等 100 多种。一旦原癌基因被激活，其结构发生改变而成为癌基因。

八版教材新增

E 钙粘蛋白 (E-cadherin): 与肿瘤粘附密切相关

MMP: 与肿瘤转移密切相关

Ki67: 与肿瘤增值密切相关

CEA: 癌胚抗原; 结直肠癌

CA125: 监测卵巢癌复发的重要指标

【2011-47】患者，女，58 岁。因左乳腺外上象限肿物伴腋窝淋巴结肿大住院，手术标本病理诊断为左乳腺浸润性导管癌伴淋巴结转移。下列病理变化中，与患者肿瘤转移关系最密切的是

- A. 角蛋白的表达增高
- B. 凋亡增多
- C. 层粘连蛋白受体减少
- D. 出现坏死灶

【2012-49】下列原癌基因中，其表达产物与乳腺癌预后明确相关的是

- A. Ras
- B. jun
- C. c-myc
- D. Her-2/neu

【2012-50】在下列肿瘤标志物中，属于癌胚抗原的是

- A. 角蛋白
- B. 甲胎蛋白
- C. 波形蛋白
- D. 前列腺特异性蛋白

肿瘤标记物 (tumor marker)

又称肿瘤标志物是指特征性存在于恶性肿瘤肿瘤细胞，或由恶性肿瘤细胞异常而产生的物质，或是宿主对肿瘤的刺激反应而产生的物质，并能反映肿瘤发生、发展，监测肿瘤对治疗反应的一类物质。

按肿瘤标记物本身的性质分类：胚胎抗原

蛋白类标记物

糖类标记物

酶类标记物

激素类标记物

基因类标记物
其他肿瘤标记物

胚胎抗原---甲胎蛋白 (AFP)

第六章 心血管系统疾病

第一节 动脉粥样硬化

【2015-50】早期动脉粥样硬化病变的主要细胞是

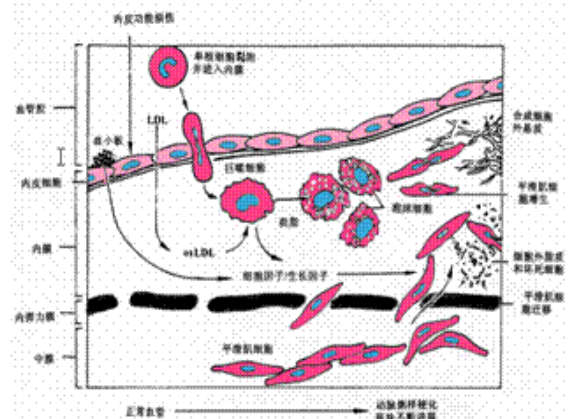
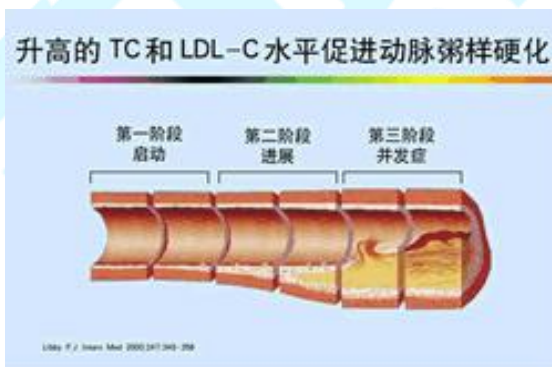
- A. 内皮细胞
- B. 泡沫细胞
- C. 成纤维细胞
- D. 平滑肌细胞

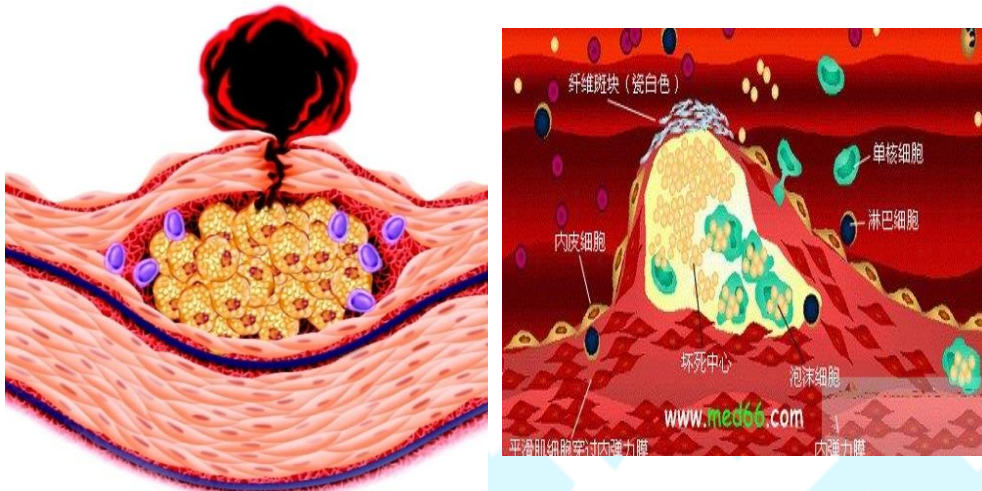
【2014-50】与动脉粥样斑块表面的纤维帽形成关系密切的细胞是

- A. 内皮细胞
- B. 平滑肌细胞
- C. 单核细胞
- D. 成纤维细胞

重要知识点

1. 在动脉粥样硬化的发病机制中，粥样斑块形成的首要条件是：慢性、反复的血管内皮细胞损伤
2. 动脉粥样硬化的主要危险因素：高脂血症；高血压；糖尿病；吸烟
3. 泡沫细胞来源于：巨噬细胞源和血管平滑肌
4. 血管平滑肌：分泌大量细胞外基质（胶原纤维和蛋白聚糖等）





【2012-166】在动脉粥样硬化的早期病变中，有大量的泡沫细胞存在，这些细胞的来源有

- A. 血管内皮细胞
- B. 血管平滑肌细胞
- C. 巨噬细胞
- D. 成纤维细胞

【2011-50】与动脉粥样硬化斑块形成无关的细胞是

- A. 内皮细胞
- B. 平滑肌细胞
- C. 单核细胞
- D. 纤维细胞

第二节 高血压病

【2011-163】高血压病可引起的脑内病变有

- A. 脑水肿
- B. 脑梗死
- C. 脑出血
- D. 脑内微小动脉瘤

良性高血压内脏病变期

(1) 心脏：左心室代偿性肥大。肉眼观，左心室壁增厚，向心性肥大。

(2) 肾脏：高血压时，由于入球动脉的玻璃样变性和肌型小动脉的硬化，管壁增厚，管腔狭窄，致病变区的肾小球缺血发生纤维化、硬化或玻璃样变性。肾脏以上的病变特点称为原发性颗粒性固缩肾。

(3) 高血压脑病：由于脑细小动脉硬化造成局部组织缺血，毛细血管通透性增加。

①高血压脑病：由于脑小动脉硬化和痉挛。临床表现为头痛、头晕、眼花、呕吐、视力障碍等症状，有时血压急剧升高，患者可出现剧烈头痛、意识障碍、抽搐等症状，称为高血压危象。

②脑软化：由于脑的细小动脉硬化和痉挛，供血区脑组织缺血而发生多数小坏死灶，即微梗死灶。

③脑出血：是高血压最严重的并发症。脑出血常发生于基底节、内囊。多见于基底节区域（尤以豆状核区最多见）。是因为供应该区域的豆纹动脉从大脑中动脉呈直角分支，致豆纹动脉易破裂出血。

(4) 视网膜：视网膜中央动脉发生动脉硬化。

第三节 风湿病

【2015-48】风湿小结内的阿少夫细胞来源于

- A. 成纤维细胞
- B. B 淋巴细胞
- C. 巨噬细胞
- D. T 淋巴细胞

【2013-133、134】

- A. 关节病变
- B. 心包内纤维蛋白性炎症
- C. 心肌内 Aschoff 小体
- D. 心内膜炎

【2013-133】对风湿病最有诊断意义的病变是

【2013-134】对风湿病人造成最严重危害的病变是

风湿病

一、概念

风湿病是一种与 A 组乙型溶血性链球菌感染有关的变态反应性疾病。病变主要累及全身结缔组织，最常侵犯心脏、关节和血管等处，以心脏病变最为严重。

二、病因和发病机制

风湿病的发生与咽喉部 A 组乙型溶血性链球菌感染有关。

三、基本病理变化

风湿病根据病变发展过程大致可分为三期：

1. 质渗出期，是风湿病的早期改变。在心脏、浆膜、关节、皮肤等病变部位表现为纤维素样坏死。

2. 增生期或肉芽肿期。此期病变特点是在心肌间质，心内膜下和皮下结缔组织中，特别是在纤维素样坏死的基础上，出现巨噬细胞的增生，吞噬纤维素样坏死物质后所形成的风湿细胞或阿少夫细胞，也称阿少夫小体，是风湿病特征性病变。

3. 纤维化期或硬化期

【2011-48】风湿病变质渗出期的主要病变是

- A. 纤维素样坏死形成
- B. 阿少夫小体形成
- C. 梭形瘢痕形成
- D. 小化脓灶形成

第四节 心肌病

【2015-57】下列超声心动图结果描述中，不支持扩张性心肌病诊断的是

- A. 左心房扩大
- B. 左心室可见节段性运动减弱
- C. 左心室舒张末内压增大
- D. 左心室后壁厚度变薄

【2015-163】肥厚型心肌病的肉眼病理变化有

- A. 左心室壁肥厚
- B. 室间隔不均肥厚
- C. 二尖瓣肥厚
- D. 左心房壁肥厚

【2014-48】扩张性心肌病肉眼检查不包括的主要病理变化是

- A. 心脏重量增加达 500~800g
- B. 两侧心腔扩张
- C. 二尖瓣、三尖瓣关闭不全
- D. 心内膜增厚

心肌病和心肌炎

一、概念

心肌病是指心肌病变伴心脏功能不全。至今病因不明。亦称为原发性心肌病

二、分类

1. 扩张性心肌病亦称充血性心脏病，是心肌病中最常见的类型，约占心肌病的 90%。WHO 定义为“左心室或双心室腔扩张伴收缩功能不全”的心肌病变。病变以心肌收缩能力下降为特征。

2. 肥厚性心肌病是以左心室显著肥厚、室间隔不对称增厚、舒张期心室充盈异常。两侧心室壁肥厚、室间隔厚度大于左心室壁的游离侧，二者之比 >1.3 。

3. 限制性心肌病是目前最少的心肌病。WHO 的定义是“以单或双心室充盈受限、舒张容积缩小为特征的心肌病”。典型病变为心室内膜和内膜下心肌进行性纤维化。相当于缩窄性心包炎。

4. 克山病是一种地方性心肌病。病理变化主要表现是心肌严重的变性、坏死和瘢痕形成。

【2013-62】下列疾病中，属于原发性心肌病范畴的是

- A. 致心律失常型右室心肌病
- B. 围产期心肌病，

- C. 酒精性心肌病
- D. 自身免疫性心肌病

第七章 呼吸系统疾病

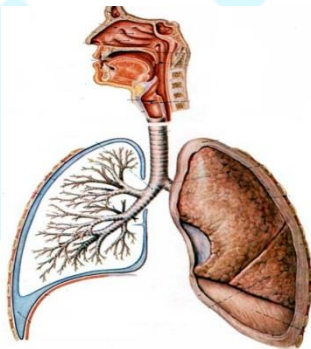
第一节 肺炎

【2013-135、136】

- A. 大叶性肺炎
- B. 小叶性肺炎
- C. 间质性肺炎
- D. 有肉芽肿形成的肺炎

【2013-135】支原体肺炎的病理类型通常是

【2013-136】病毒性肺炎的病理类型通常是

发生的部位	肺实质性肺炎（典型肺炎）		间质性肺炎（非典型性肺炎）	
生物因子	细菌性肺炎		病毒性肺炎	支原体肺炎
病变累及的范围	大叶性肺炎	小叶性肺炎（支气管肺炎）		
病变性质	纤维素性炎	化脓性炎		

第二节 肺气肿

【2015-52】腺泡周围型肺气肿的病理表现是

- A. 呼吸性细支气管扩张，其周围的肺泡扩张
- B. 呼吸性细支气管扩张，周围肺泡扩张不明显
- C. 肺泡间隔内出现成串小气泡
- D. 呼吸性细支气管、肺泡管和肺泡囊均扩张

【2012-133、134】

- A. 吸烟
- B. 慢性支气管炎
- C. α -1-抗胰蛋白酶
- D. 瘢痕附近区

【2012-133】全腺泡型肺气肿见于

【2012-134】腺泡远端肺气肿见于

肺气肿

一、概念

病变发生在肺腺泡内，合并小气道的阻塞性通气障碍，也称阻塞性肺气肿

二、分类

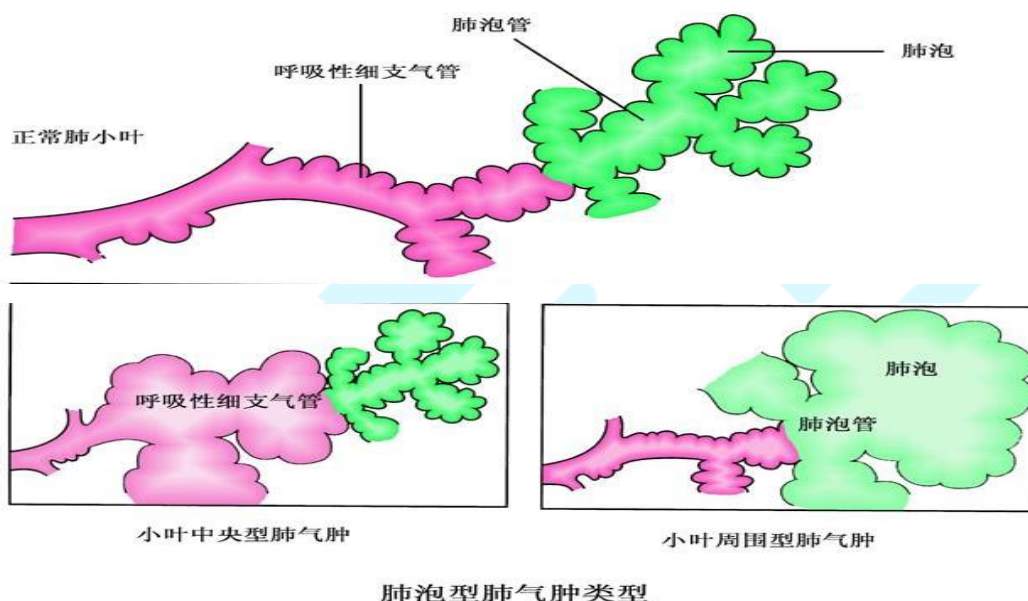
腺泡中央型—呼吸性支气管囊状扩张

腺泡周围型—周围的肺泡管和肺泡囊扩张

全腺泡型—呼吸性支气管、肺泡管、肺泡囊。肺泡都扩张（ α_1 -抗胰蛋白酶水平降低——全腺泡型肺气肿）

间质型肺气肿—机械损伤引起肺内压急剧升高导致细支气管或肺泡间隔破裂，空气进入肺间质。小叶间隔于胸膜连接处出现串珠样气泡。

其它类型—疤痕旁~（属于周围型）；老年性~



【2011-52】中央型肺气肿是指

- A. 三、四级支气管和周围肺泡囊扩张
- B. 呼吸性细支气管扩张，周围肺泡囊扩张不明显
- C. 肺门周围的肺组织扩张，近胸膜处肺组织扩张不明显
- D. 呼吸性细支气管扩张不明显，周围肺泡管和肺泡囊扩张

第三节 肺硅沉着病

【2011-51】形成早期细胞性硅结节的细胞主要是

- A. 巨噬细胞
- B. 淋巴细胞
- C. 浓纤维细胞
- D. 嗜中性粒细胞

病理变化（细胞性硅结节——纤维性硅结节）

基本病变是肺组织内硅结节形成和肺弥漫性间质纤维化。硅结节是硅沉着病的特征性病变。早期硅结节由吞噬硅尘的巨噬细胞局灶性聚积而成，多位于肺小

动脉周围，为细胞性硅结节，随后结节发生纤维化和玻璃样变，成为玻璃样纤维性硅结节。

肉眼观：硅结节境界清楚，呈圆形或椭圆形，灰白色，质硬，触之有砂粒样感。

镜下：典型的硅结节中，吞噬硅尘的巨噬细胞玻璃样变的胶原纤维组织呈同心圆层状排列，中央常有内膜增厚或闭塞的小血管，周围纤维化。随着病变的发展，晚期肺间质有不同程度的弥漫性纤维化。

第四节 慢性肺源性心脏病

【2014-52】慢性肺源性心脏病心脏变化的主要指标是

- A. 左心室肥厚
- B. 肺动脉瓣下 2cm 处右心室壁厚度超过 0.5cm
- C. 三尖瓣关闭不全
- D. 心脏重量增加可达 850g

肺肉血管病变主要累及肺内的细、小动脉，表现为毛细血管数量减少，无肌型细动脉肌化，肌型小动脉中膜增厚。

中型动脉纤维素样坏死是结节性多动脉炎的特征性病变。

第五节 间质性肺疾病

【2014-51】弥漫性肺泡损伤的早期病理改变是

- A. 肺纤维化
- B. 脱屑性肺泡炎
- C. 肺大片出血
- D. 肺充血和透明膜形成

弥漫性肺泡损伤（Diffuse alveolar damage DAD）

最常见于 ARDS

临床上主要表现有机型呼吸困难和 X 线示弥漫性肺浸润病变

弥漫性肺泡损伤病理改变分为急性期（或称渗出期）和增生期（或称机化期）：

急性期：早期的显微镜下改变是渗出性改变，主要表现为肺间质和肺泡内水肿伴有不等量的红细胞渗出和纤维素沉积。透明膜发生在疾病开始的 1 天至数天

增生期：特点是肺泡间隔内有成纤维细胞浸润，II 型肺泡细胞增生明显，但间质和肺泡腔水肿和透明膜数量减少，病变最终可导致肺间质纤维化和支气管周围纤维化

第六节 呼吸系统常见肿瘤

【2015-51】在下列肿瘤类型中，细支气管肺泡癌属于

- A. 小细胞癌
- B. 鳞状细胞癌
- C. 腺癌
- D. 大细胞癌

【2015-168】呼吸系统肿瘤中，由神经内分泌细胞发生的包括

- A. 支气管类癌
- B. 腺癌
- C. 鳞癌
- D. 小细胞癌

第八章 消化系统疾病

第一节 慢性胃炎

【2015-167】慢性萎缩性胃炎的病变包括

- A. 胃黏膜慢性炎细胞浸润
- B. 肠上皮化生
- C. 鳞状上皮化生
- D. 幽门螺杆菌阳性

【2014-133、134】

- A. 胃小凹上皮增生
- B. 胃黏膜浅层糜烂出血
- C. 胃黏膜内出现胰腺组织
- D. 胃黏膜腺体变小、减少

【2014-133】慢性萎缩性胃炎的主要病变是

【2014-134】迷离瘤的病变是

胃炎病理变化：

1. 慢性浅表性胃炎又称慢性单纯性胃炎，是胃黏膜最常见的病变之一，国内胃镜检出率高，以胃窦部为常见。（除此之外其它均是胃癌的癌前病变）
2. 慢性萎缩性胃炎本病以胃黏膜萎缩变薄，黏膜腺体减少或消失为主要特点，固有膜内多量淋巴细胞、浆细胞浸润。

第二节 消化性溃疡

【2013-166】胃溃疡的镜下病理特征有

- A. 纤维蛋白和中性粒细胞渗出
- B. 肉芽肿形成
- C. 纤维瘢痕形成
- D. 闭塞性动脉内膜炎

病理变化——胃溃疡病变与十二指肠溃疡病变大致相同

肉眼观：胃溃疡多位于胃小弯侧，愈近幽门部。

镜下：溃疡底部由内向外分四层：最表层由少量炎性渗出物（白细胞、纤维素等）覆盖；其下为一层坏死组织；再下则见较新鲜的肉芽组织层；最下层由肉芽组织移行为陈旧瘢痕组织。

第三节 病毒性肝炎

【2015-42】不会引起慢性肝炎的肝炎病毒是

- A. HAV
- B. HBV
- C. HCV
- D. HDV

【2013-167】丙型肝炎除了一般病毒性肝炎的病理特点外，其相对特异的镜下特点还有

- A. 碎屑样坏死
- B. 凋亡小体
- C. 汇管区淋巴滤泡形成
- D. 肝细胞脂肪变性明显

丙型肝炎的病理特点

共同特点——碎屑样坏死和凋亡小体是丙型肝炎与一般病毒性肝炎共同的病理特点。

特有表现——丙型肝炎肝细胞脂肪变性较其他类型病毒性肝炎更加明显；汇管区淋巴细胞聚集，可形成淋巴滤泡；胆管上皮细胞变性，周围有大量淋巴细胞浸润。

慢性化标志——严重的汇管区炎症及胆管损伤是丙型肝炎慢性化的重要标志。

【2011-55】下列肝细胞坏死的病变中，可以完全经过再生修复的是

- A. 大块坏死
- B. 桥接坏死
- C. 灶状坏死
- D. 碎片坏死

第四节 肝硬化

【2014-55】下列肝细胞病变中，与肝硬化形成最相关的是

- A. 大块坏死
- B. 桥接坏死
- C. 灶状坏死
- D. 碎片样坏死

八版教材新增

	轻型（普通型）			重型		
	急性	慢性			急性	亚急性
		轻度	中度	重度		

细胞坏死	水肿为主，点状坏死，嗜酸性坏死	点状坏死，偶见轻度碎片状坏死	中度碎片状坏死，特征性桥接坏死	重度碎片状坏死，大范围桥接坏死	弥漫性大片坏死；无再生	大片坏死；可再生
------	-----------------	----------------	-----------------	-----------------	-------------	----------

第五节 消化系统常见肿瘤

【2015-133、134】

- A. 溃疡型
- B. 胶样型
- C. 浸润型
- D. 隆起型

【2015-133】组织学上表现为黏液癌的大肠癌类型是

【2015-134】较易引起肠梗阻的大肠癌类型是

【2015-165】胃癌的肉眼类型有

- A. 蕈伞型
- B. 溃疡型
- C. 浸润型
- D. 胶样型

【2014-165】中晚期食管癌的肉眼类型有

- A. 隆起型
- B. 溃疡型
- C. 髓质型
- D. 胶样型

食管癌（carcinoma of esophagus）

定义——食管黏膜上皮或腺体发生的恶性肿瘤。

流行病学特点——男性发病率较高，发病年龄多在 40 岁以上。

临床表现——不同程度的吞咽困难。

病理变化——食管癌好发于三个生理性狭窄部，以中段最多见。

1. 早期癌 病变局限，多为原位癌（位于粘膜及粘膜下内癌），未侵犯肌层，无淋巴结转移。镜下绝大部分为鳞状细胞癌。
2. 中晚期癌 此期患者多出现吞咽困难等典型的临床症状。根据肉眼形态特点：髓质型（最多见）、溃疡型、蕈伞型、缩窄型。

	胃癌	大肠癌	食道癌	肝癌
肉眼分型	进展期分为 ①息肉型 ②溃疡型 ③浸润型 早期胃癌分为隆起型、表浅型和凹陷型	①息肉型 ②溃疡型 ③浸润型 ④胶样型	1 蕈伞型 2 溃疡型 3 髓质型 4 缩窄型	1 巨块型 2 多结节型 3 弥漫型
组织学分型	1 管状腺癌 2 粘液腺癌 3 印戒细胞癌 4 乳头状腺癌 5 未分化癌	与胃癌相似但在直肠肛管区可发生鳞状细胞癌	1 鳞状细胞癌 2 腺癌 3 小细胞癌	(1) 肝细胞性肝癌 (2) 胆管上皮癌 (3) 混合性肝癌
好发位	胃窦小弯侧	直肠	食管中段	---

【2012-52】双侧卵巢发生肿瘤转移形成克氏瘤时，其原发肿瘤主要为

- A. 胃印戒细胞瘤
- B. 肠型胃腺癌
- C. 肠腺癌
- D. 肠印戒细胞瘤

种植性转移：胃癌特别是胃印戒细胞癌浸润至胃浆膜表面时可脱落至腹腔。种植于腹腔及盆腔器官的浆膜上。女性常在双侧卵巢形成转移性黏液癌，称库肯勃氏瘤（kru-n-berg）

分泌大量黏液的腺癌称为黏液癌。常见于胃和大肠。

镜下 粘液腺癌：癌细胞似漂浮在黏液中。

印戒细胞癌：黏液聚集在癌细胞内，将核挤向一侧，使癌细胞呈印戒状。

【2012-53】肝细胞性肝癌最常见的转移部位为

- A. 肝
- B. 肺
- C. 骨
- D. 肝门区淋巴结

原发性肝癌镜下有以下三种组织类型：

(1) 肝细胞癌：发生于肝细胞，最多见。

(2) 胆管细胞癌：发生于肝内胆管上皮的恶性肿瘤。

(3) 混合细胞型肝癌：癌组织中具有肝细胞癌及胆管细胞癌两种成分，最少见。

扩散癌组织首先在肝内直接蔓延

【2012-167】在大肠癌发生中，常见失活的抑癌基因有

- A. P53
- B. APC
- C. DCC
- D. PDGF

大肠癌发生中常考的癌基因：K-ras、c-myc

抑癌基因：P53、P16、APC、DCC、MCC

【2011-165】大肠癌的肉眼类型有

- A. 隆起型
- B. 溃疡型
- C. 浸润型
- D. 胶样型

第九章 淋巴造血系统疾病

第一节 恶性淋巴瘤

【2015-53】下列选项中，符合 NK/T 细胞淋巴瘤免疫表型的是

- A. CD20
- B. CD65
- C. CD19
- D. CD56

【2014-53】下列选项中，符合 Burkitt 淋巴瘤的叙述是

- A. 老年患者多见
- B. T 细胞淋巴瘤
- C. 国内多见
- D. 与 EB 病毒感染有关

类型	性质	组织学特点	临床表现	免疫学标记
滤泡型淋巴瘤	来源于滤泡生发中心细胞的惰性 B 细胞淋巴瘤	肿瘤形成明显的结节	进展缓慢，预后良好。5 年存活率 70%	B 细胞抗原 CD19、CD20、CD10。Bc1-2 高表达
弥漫型大细胞性 B 细胞淋巴瘤	一类形态变化范围大的高度侵袭性的 B 细胞淋巴瘤	肿瘤细胞可类似于中心母细胞、免疫母细胞、甚至伴浆细胞分化，异型性明显	进展快，治疗不及时可在短期内死亡。联合化疗 60% -80% 患者可完全缓解	B 细胞抗原 CD19、CD20
Burkitt 淋巴瘤	来源于滤泡生发中心的高度侵袭性的 B 细胞淋巴瘤	肿瘤由中等大小的淋巴细胞构成，其间散在吞噬细胞碎片的巨噬细胞，形成满天星现象	儿童多见，累及颌骨、颅骨和面骨，一般不累及淋巴结	与 EB 病毒感染密切相关，B 细胞抗原 CD19、CD20 和 Ig

【2013-52】在临床上，约有 40% 的滤泡型淋巴瘤会转化为弥漫大 B 细胞型淋巴瘤，其最常见的分子机制是

- A. p53 基因突变
- B. ras 基因突变
- C. bcr-abl 融合基因形成
- D. myc 基因扩增

解析：在临床上，约有 40% 的滤泡型淋巴瘤会转化为弥漫大 B 细胞型淋巴瘤，一般认为与 p53 基因突变有关。

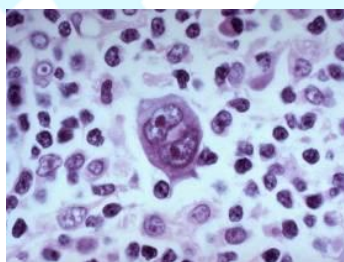
【2012-168】结节性淋巴细胞为主型霍奇金淋巴瘤细胞特点有

- A. 爆米花样细胞
- B. 双核 RS 细胞
- C. CD20 阳性
- D. CD30 阳性

霍奇金淋巴瘤病变特点

类型	病变特点及预后
结节性淋巴细胞为主型	1) 肿瘤呈结节状分布 2) 爆米花细胞，典型 R-S 细胞很少或缺乏 + 小淋巴细胞
经典型霍奇金淋巴瘤	
1) 结节硬化型	年轻女性多见，预后第 2 好 陷窝细胞 + 纤维间隔将病变分成结节状
2) 混合细胞型	最多见，预后第 3 好。多见于老年人 大量典型镜影细胞 + 多量混合性反应性炎症细胞
3) 淋巴细胞消减型	少见，预后最差 1) 弥漫纤维化型：RS 细胞和变异型 RS 细胞均较多，纤维组织增生，细胞成份明显减少，常有坏死。 2) 网状细胞型：变异型 RS 细胞较多，细胞丰富。
4) 淋巴细胞为主型	预后最好 爆米花细胞，典型 R-S 细胞很少 + 大量反应性淋巴细胞

霍奇金淋巴瘤的诊断性肿瘤细胞



类型	特点	主要见于
RS 细胞	1) 胞浆丰富, 嗜伊红, 直径 15-45 μm 。 2) 细胞核圆/椭圆形, 双/多核或多叶状核, 核仁明显。 4) 双核的 RS 细胞又称镜影细胞 5) RS 细胞来源于 B 淋巴细胞	混合型多见
腔隙细胞 (陷窝细胞)	体积大, 单核, 分叶状, 多个小核仁, 胞质丰富, 染色浅。在福尔马林固定的组织中, 胞质收缩, 细胞似位于空间或陷窝中	结节硬化型
爆米花细胞	体积大, 核折叠状或多叶形, 核仁小, 多个, 核膜薄。	淋巴细胞为主型
变异型 RS 细胞	瘤细胞大, 形态不规则。核仁大, 核分裂常见	淋巴细胞减少型

【2011-53】下列选项中, 符合前 B 细胞淋巴母细胞白血病/淋巴瘤的叙述是

- A. 老年患者多见
- B. 95%TdT 阳性
- C. 白细胞计数超过 $100 \times 10^9/\text{L}$
- D. Bcl-2 蛋白过度表达

前 B 细胞淋巴母细胞白血病/淋巴瘤的特点: 多见于儿童
白细胞高低不一
特征性标志——TdT 阳性
Bcl-2 蛋白不表达

淋巴瘤的免疫表型标志 (重点)

细胞	免疫表型标志
B 细胞及其肿瘤	CD10、CD20、CD19 和表面 Ig
T 细胞及其肿瘤	CD2、CD3、CD4、CD7 和 CD8
幼稚的 B 和 T 细胞	表达 TdT (末端脱氧核苷酸转移酶): 区别于幼稚的髓样细胞 (髓母细胞) 和成熟的淋巴细胞肿瘤;
NK 细胞	CD16 和 CD56
髓样细胞	CD13、CD14、CD15 和 CD64: 可用来区别髓样肿瘤还是淋巴样肿瘤;

第十章 免疫性疾病

第一节 系统性红斑狼疮

【2014-49】对红斑狼疮性肾炎最具有诊断意义的病变是

- A. 系膜增生
- B. 基底膜增厚
- C. 苏木素小体
- D. 免疫复合物沉积

系统性红斑狼疮



定义：是一种常见的全身性自身免疫病，由抗核抗体为主的多种自身抗体引起。多见于年轻女性。临床表现主要有发热及皮肤、肾、关节、心、肝、浆膜等损害，病程迁延反复，预后不良。

病因与发病机制：狼疮小体（苏木素小体）为诊断 SLE 的特征性依据。

病理变化：SLE 急性坏死性小动脉、细动脉炎是本病的基本病变。

活动期病变：纤维素样坏死为主。慢性期：血管壁纤维化明显，管腔狭窄，血管周围淋巴细胞浸润伴水肿及基质增加。

1. 皮肤：以面部蝶形红斑最为典型。免疫荧光证实真皮与表皮交界处有 IgM, IgG 及 C3 的沉积，形成荧光带即“狼疮带”，对本病有诊断意义。

2. 肾：弥漫增生型狼疮性肾炎中内皮下大量免疫复合物的沉积，是 SLE 急性期的特征性病变。苏木素小体的出现有明确的诊断意义。肾衰竭是 SLE 患者的主要死亡原因。

3. 心：心瓣膜非细菌性疣赘性心内膜炎最为典型。

4. 关节：出现灶性纤维素样坏死。

5. 脾：小动脉周围纤维化，形成洋葱皮样结构。

【2011-49】系统性红斑狼疮的狼疮带是指带状免疫荧光出现于

- A. 关节滑膜内
- B. 血管壁
- C. 肾小球基膜
- D. 真皮与表皮交界处

【2013-51】引起系统性红斑狼疮的超敏反应类型是

- A. I 型

- B. II型
- C. III型
- D. IV型

第二节 免疫性疾病——类风湿关节炎

【2015-49】类风湿关节炎滑膜内浸润的特征性细胞是

- A. 中性粒细胞
- B. 巨噬细胞
- C. 浆细胞和淋巴细胞
- D. 嗜酸性粒细胞

第三节 免疫性疾病——移植排斥反应

【2014-54】符合超急性排斥反应的病理变化是

- A. 急性小动脉炎
- B. 大量淋巴细胞浸润
- C. 血管内膜增厚
- D. 血管周围洋葱皮样改变

超急性排斥反应：（属于 III 型变态反应）

受体内预先存在抗供者组织抗原的抗体

急性排斥反应：（迟发型超敏反应）

1.急性血管性排斥反应--属于 II 型超敏反应

2.急性细胞性排斥反应--属于 IV 型超敏反应

T 细胞（CD4⁺Th1）的反应起主要作用,巨噬细胞 NK 细胞亦起作用.术后数天-数周出现,80-90%发生于移植后一个月内.

慢性排斥反应：

发生移植术后数月—数年,机制不清,损伤的主要形式是血管慢性排斥.突出病变是血管内膜纤维化

【2012-51】在肾移植排异反应中，最典型的 II 型超敏反应是

- A. 超急性排异反应
- B. 急性细胞型排异反应
- C. 急性血管型排异反应
- D. 慢性排异反应

【2011-54】超急性排斥反应的主要病因是

- A. 受者存在抗移植物循环抗体
- B. 受者与供者 HLA 配型不理想
- C. 受者存在严重的免疫缺陷
- D. 受者存在抗移植物 T 淋巴细胞

第十一章 泌尿系统疾病

第一节 肾小球肾炎

【2015-164】急进性肾小球肾炎电镜检查的病变特点有

- A. II型可见电子致密物沉积
- B. 肾小球系膜细胞增生
- C. 可见基底膜的缺损和断裂
- D. 脏层上皮细胞足突消失

【2014-168】新月体性肾小球肾炎类型有

- A. 抗肾小球基膜抗体型
- B. 免疫复合物型
- C. 免疫反应缺乏型
- D. 致密沉积物型

快速进行性肾小球肾炎

基底膜损伤 → 渗出（其中纤维素）
 → 球囊壁层上皮细胞增生，呈环状（*新月体或环状体）
 → 肾小球纤维化，玻璃样变

分型 I型快速进行性肾小球肾炎——抗肾小球基底膜性疾病
 肺出血肾炎综合征

II型快速进行性肾小球肾炎——免疫复合物性疾病

III型快速进行性肾小球肾炎——免疫反应不明显型

【2012-137、138】

- A. 急性弥漫增生性肾炎
- B. 肺出血肾炎综合症
- C. 微小病变性
- D. Heymann 肾炎

【2012-137】属于循环免疫复合物型肾炎的是

【2012-138】属于抗肾小球基底膜型肾炎的是

第二节 肾病综合征

【2011-164】急性弥漫性增生性肾小球肾炎的病理特点有

- A. 肾小球内皮细胞增生
- B. 肾小球系膜细胞增生
- C. 病变严重者有肾小球毛细血管纤维素样坏死
- D. 电镜下脏层上皮足突消失

【2011-168】引起肾病综合征的肾炎类型有

- A. 膜性肾小球肾炎
- B. 弥漫性毛细血管内增生性肾小球肾炎
- C. 新月体性肾小球肾炎
- D. 轻微病变型肾小球肾炎

第三节 IgA 肾病和慢性肾小球肾炎

【2013-53】在下列选项中，符合 IgA 肾病镜下特征的病变是

- A. 肾小球内皮细胞增生
- B. 肾小球系膜区细胞增生
- C. 肾小球毛细血管袢纤维素样坏死
- D. 肾小球内中性粒细胞浸润

IgA 肾病--组织学改变差异很大

镜下特征性的病变为肾小球系膜区细胞增生，也可表现为局灶性阶段性增生或硬化，少数有新月体形成；无内皮细胞增生。

免疫荧光的特征是系膜区有 IgA 沉积，常伴有 C3 和备解素，也可出现少量 IgG 和 IgM。

第十二章 生殖系统和乳腺疾病

第一节 子宫体疾病

【2015-54】与子宫内膜癌关系不密切的子宫内膜变化是

- A. 单纯性增生
- B. 非典型增生
- C. 增殖期子宫内膜
- D. 复杂性增生

【2012-54】子宫平滑肌瘤与子宫平滑肌肉瘤镜下的主要鉴别点是

- A. 细胞核异型程度
- B. 肿瘤大小
- C. 细胞核分裂相数量
- D. 边界是否清楚

八版教材新增

子宫平滑肌肿瘤

定义：是女性生殖系统最常见的肿瘤，雌激素可促进其生长。

病理变化（肉眼观）：多数肿瘤发生于子宫肌层。

平滑肌瘤极少恶变，多数子宫平滑肌肉瘤从开始即为恶性。肿瘤组织出现坏死，细胞异型，核分裂象增多（区分良恶性主要依据），为平滑肌肉瘤。

第二节 卵巢肿瘤

【2015-47】双侧卵巢肿大，活检发现癌细胞，首先考虑癌细胞来源于

- A. 卵巢
- B. 肠
- C. 胃

D. 子宫

【2014-164】良性畸胎瘤内可以出现的组织有

- A. 皮肤及其附属器
- B. 脑组织
- C. 软骨组织
- D. 甲状腺组织

卵巢生殖细胞肿瘤

畸胎瘤

1. 成熟畸胎瘤又称成熟囊性畸胎瘤，是最常见的生殖细胞肿瘤。

肉眼观，肿瘤呈囊性，充满皮脂样物，还可见牙齿。

镜下，肿瘤由三个胚层的各种成熟组织构成。常见皮肤、毛囊、汗腺和脑组织等。以表皮和附件组成的单胚层畸胎瘤称为皮样囊肿；以甲状腺组织为主的单胚层畸胎瘤则称为卵巢甲状腺肿。

2. 未成熟性畸胎瘤 镜下，在与成熟畸胎瘤相似的组织结构背景上，可见未成熟神经组织组成的原始神经管和菊形团。

第三节 乳腺疾病

【2015-56】下列乳腺癌的病理学类型中，恶性度较低的是

- A. 浸润型导管癌
- B. 髓样癌
- C. 小管癌
- D. 浸润性小叶癌

【2014-47】女性，58岁。左乳腺外上象限肿物，直径约2cm。组织学检查，肿瘤细胞小，在纤维组织中排列成单排细胞，浸润周围脂肪组织。应诊断为

- A. 小叶原位癌
- B. 浸润性小叶癌
- C. 导管内癌
- D. 浸润性导管癌

1. 非浸润性癌

分类：导管内原位癌和小叶原位癌，两者均来自终末导管一小叶单元上皮细胞。

(1) 导管内原位癌：根据组织学改变分为粉刺癌和非粉刺型导管内原位癌：

1) 粉刺癌：以上位于乳腺中央部位，切面可见扩张的导管内含灰黄色软膏样坏死物质，挤压时可由导管内溢出，状如皮肤粉刺，故称为粉刺癌。

2) 非粉刺型导管内癌：细胞呈不同程度异型，但不如粉刺癌明显，细胞体积较小，形态比较规则，一般无坏死或仅有轻微坏死。

(2) 小叶原位癌

2. 浸润性癌

(1) 浸润性导管癌：由导管内癌发展而来，癌细胞突破导管基膜向间质浸

润，是最常见的乳腺癌类型，约占乳腺癌 70% 左右。

(2) 浸润性小叶癌：单行串珠状或细索状浸润纤维间质或围绕在导管周围。

(3) 特殊类型癌：主要有髓样癌、小管癌、佩吉特病。

佩吉特病 (Paget disease) 伴有或不伴有间质浸润的导管内癌的癌细胞沿乳腺导管向上扩散，累及乳头和乳晕，在表皮内可见大而异型，又称湿疹样癌。

【2014-56】下列乳腺癌的病理学类型中，属于原位癌的是

- A. 粉刺癌
- B. 黏液癌
- C. 髓样癌
- D. 小管癌

【2011-56】下列乳腺癌的病理学类型中，属于原位癌的是

- A. 导管内癌
- B. 粘液癌
- C. 髓样癌
- D. 小管癌

【2013-168】下列属于乳腺髓样癌形态学特点的有

- A. 边界清楚
- B. 癌细胞体积大
- C. 有较多的淋巴细胞浸润
- D. HER2/neu 过表达

乳腺髓样癌形态学特点

肉眼观：肿瘤边界清楚，质韧，切面灰白色。

镜下观：癌细胞体积大，间质少，间质内见大量淋巴细胞浸润。

HER2/neu 过表达不是乳腺髓样癌的特点，C-erbB-2 的表达程度也不高。

第十三章 内分泌系统疾病

第一节 甲状腺疾病

【2013-56】一例甲状腺肿瘤，呈浸润性生长。镜下见癌细胞呈滤泡状排列，细胞核呈毛玻璃状，核重叠，核沟明显。应诊断为

- A. 乳头状癌
- B. 滤泡状癌
- C. 髓样癌
- D. 未分化癌

甲状腺癌

组织学类型：

1. 乳头状癌是甲状腺癌中最常见的类型，青少年女性多见，肿瘤生长慢，恶

性程度较低，预后最好，10年存活率达80%以上。

肉眼观：肿瘤一般呈圆形，无包膜，质地较硬，切面灰白，肿瘤常伴有出血、坏死、纤维化和钙化。

镜下观：乳头分支多。乳头中心有纤维血管间质，间质内常见呈同心圆状的钙化小体，即砂粒体，有助于诊断。乳头上皮细胞常呈毛玻璃状，无核仁。乳头状癌有时以微小癌(癌直径小于1cm)。甲状腺微小癌预后较好。远处转移也少见。

2.滤泡癌一般比乳头状癌恶性程度高、预后差，仅次于甲状腺乳头状癌而居第2位。多发于40岁以上女性，早期易血道转移。

肉眼观：结节状，包膜不完整，境界较清楚，切面灰白、质软。

镜下观：有时分化好的滤泡癌很难与腺瘤区别，注意是否有包膜和血管侵犯加以鉴别。

3.髓样癌又称C细胞癌是由滤泡旁细胞(即C细胞)发生的恶性肿瘤，属于APUD瘤。部分为家族性常染色体显性遗传，90%的肿瘤分泌降钙素，产生严重腹泻和低血钙症。

肉眼观：单发或多发，可有假包膜，切面灰白或黄褐色。质实而软。

光镜下：瘤细胞呈实体片巢状，间质内常有淀粉样物质沉着(可能与降钙素分泌有关)。

电镜下：胞质内有大小较一致的神经内分泌颗粒。

髓样癌免疫组织化学染色：降钙素阳性；滤泡性癌、乳头状癌和未分化癌均为阴性。

4.未分化癌，恶性程度最高，预后最差。

肉眼观：肿块较大，形状不规则。无包膜，广泛浸润。

光镜下：癌细胞组织学上可分为小细胞型、梭形细胞型、巨细胞型和混合细胞型。

【2012-56】甲状腺癌中，一般只从血行转移的是

- A. 滤泡状癌
- B. 乳头状癌
- C. 髓样癌
- D. 未分化癌

第十四章 传染病

第一节 结核病

【2015-55】原发性肺结核的好发部位是

- A. 肺上叶下部、下叶上部
- B. 肺锁骨下区
- C. 肺下叶
- D. 肺尖部

【2015-135、136】

- A. 局灶性肺结核
- B. 浸润型肺结核
- C. 慢性纤维空洞性肺结核
- D. 干酪性肺炎

【2015-135】非活动性肺结核是

【2015-136】病情危重的肺结核是

【2014-166】继发性肺结核的病理特点有

- A. 病灶多从肺尖部开始
- B. 常循血道播散
- C. 常循淋巴道播散
- D. 常循气道播散

继发性肺结核病

1. 浸润型肺结核 是临床上最常见继发性肺结核。

2. 慢性纤维空洞型肺结核该型病变有以下特点：肺内有一个或多个厚壁空洞。镜下洞壁分三层：内层为干酪样坏死物；中层为结核性肉芽组织；外层为纤维结缔组织。

3. 结核球 又称结核瘤。结核球是直径 2~5cm，有纤维包裹的孤立的境界分明的干酪样坏死灶。多为单个，常位于肺上叶。

4. 结核性胸膜炎 结核性胸膜炎根据病变性质可分干性和湿性两种，以湿性结核性胸膜炎为常见。

【2013-54】肠结核溃疡的形态特征取决于

- A. 肠黏膜的皱襞形态
- B. 肠黏膜淋巴小结的形态
- C. 肠黏膜淋巴管的走向
- D. 肠黏膜血管的走向

肠道疾病溃疡形态鉴别

肠伤寒：溃疡椭圆形，长轴与肠纵轴平行，回肠末段常见

肠阿米巴：特征性的烧瓶状溃疡。

肠结核：溃疡环形，长径与肠纵轴垂直，回盲部。

菌痢：假膜性炎，地图状溃疡，直肠、乙状结肠常见。

克罗恩病：肠粘膜呈铺路卵石样或有纵行(匍行)溃疡，回肠末段与邻近右侧结肠常见，常并发肠梗阻。

【2011-166】原发性肺结核病理特点有

- A. 病灶多位于肺尖部
- B. 常循血道播散
- C. 常循淋巴道播散
- D. 常为浸润性肺结核

原发性肺结核病

原发性肺结核病的病理特征是原发综合征形成。肺的原发病灶、淋巴管炎和肺门淋巴结结核称为原发综合征。

1. 急性全身粟粒性结核病 肉眼观，各器官内均匀密布，大小，境界清楚的小结节（三均匀）。
2. 亚急性全身性粟粒性结核病（三不均匀）。

第二节 伤寒

【2012-55】伤寒溃疡的形态取决于

- A. 肠粘膜皱襞形态
- B. 肠粘膜淋巴小结的形态
- C. 肠粘膜淋巴管的走向
- D. 肠粘膜血管的走向

第三节 梅毒

【2015-166】属于梅毒的病变有

- A. 硬性下疳
- B. 梅毒疹
- C. 脊髓痨
- D. 黏液性水肿

- A. 硬性下疳
- B. 梅毒疹
- C. 树胶样肿
- D. 脊髓痨

【2014-137】属于 I 期梅毒的病变是

【2014-138】属于 II 期梅毒的病变是

梅毒

定义：由梅毒螺旋体引起的传染病。

病因：梅毒螺旋体是梅毒的病原体。

传播途径：梅毒病人为唯一的传染源。

分类：先天性和后天性两种。

基本病变：1. 闭塞性动脉内膜炎和小血管周围炎 闭塞性动脉内膜炎指小动脉内皮细胞及纤维细胞增生。浆细胞恒定出现是本病的病变特点之一。

2. 树胶样肿 树胶样肿又称梅毒瘤。

后天性梅毒

后天性梅毒分一、二、三期。一、二期梅毒称早期梅毒，有传染性。三期梅毒又称晚期梅毒，因常累及内脏。故又称内脏梅毒。

1. 第一期梅毒 梅毒螺旋体侵入人体。病变多见于阴茎冠状沟、阴唇，发生

特征性的硬性下疳。病变部位镜下见闭塞性小动脉内膜炎和动脉周围炎。

2. 第二期梅毒 黏膜广泛的梅毒疹。

3. 第三期梅毒，病变累及内脏，特别是心血管和中枢神经系统。特征性的树胶样肿形成。

病变侵犯升主动脉，可引起梅毒性主动脉炎、主动脉瓣关闭不全、主动脉瘤等。梅毒性主动脉瘤破裂常是患者猝死的主要原因。

第十五章 寄生虫病

第一节 阿米巴病

【2011-133、134】

- A 溃疡长轴与肠道长轴平行
- B 溃疡长轴与肠道长轴垂直
- C 弥漫性小溃疡上有假膜形成
- D 溃疡呈三角烧瓶状

【2011-133】肠结核的病变特点是

【2011-134】肠阿米巴病的病变特点是

肠道疾病溃疡形态鉴别

肠伤寒：溃疡椭圆形，长轴与肠纵轴平行，回肠末段常见

肠阿米巴：特征性的烧瓶状溃疡。

肠结核：溃疡环形，长径与肠纵轴垂直，回盲部。

菌痢：假膜性炎，地图状溃疡，直肠、乙状结肠常见。

克罗恩病：肠粘膜呈铺路卵石样或有纵行(匍行)溃疡，回肠末段与邻近右侧结肠常见，常并发肠梗阻。

第二节 血吸虫病

【2013-55】在血吸虫病中，给病人造成最大危害的因素是

- A. 虫卵
- B. 童虫
- C. 成虫
- D. 尾蚴

血吸虫病

定义：由血吸虫寄生于人体引起的一种寄生虫病。在我国只有日本血吸虫病流行。

病因及感染途径：日本血吸虫的生活史可分为虫卵、毛蚴、胞蚴、尾蚴、童虫及成虫等阶段。

基本病理变化及发病机制：血吸虫发育阶段中的尾蚴、童虫及成虫、虫卵等均可对宿主造成损害。但以虫卵引起的病变最严重。

1. 尾蚴引起的损害 尾蚴侵入皮肤后，可引起皮肤的炎症反应，称为尾蚴性皮炎。目前认为主要与 I 及 IV 型变态反应有关。

2. 童虫引起的损害 童虫在体内移行可引起血管炎和血管周围炎。以肺组织受损最为明显。

3. 虫卵引起的损害 虫卵沉着所引起的损害是最主要的病变。

1) 急性虫卵结节: 镜下见结节中央常有 1~2 个成熟虫卵, 虫卵表面有时可见附有放射状嗜酸性的棒状体。其周围是一片无结构的颗粒状坏死物质及大量嗜酸性粒细胞浸润, 状似脓肿, 故也称为嗜酸性脓肿。其间可见菱形或多面形屈光性蛋白质晶体, 即 C—L 结晶。

2) 慢性虫卵结节: 病灶内巨噬细胞变为类上皮细胞和少量异物巨细胞, 病灶周围有淋巴细胞浸润和肉芽组织增生, 形态上似结核样肉芽肿, 故称为假结核结节, 即慢性虫卵结节。最后, 结节纤维化、玻璃样变, 中央的卵壳碎片及钙化的死卵可长期存留。